

大阪市立大学 正会員 ○ 谷 俊寛  
大阪市立大学 正会員 中井 博<sup>1</sup>

1. まえがき わが国の示方書では、いわゆるねじり定数比( $K = l/\sqrt{GK/EI_w}$ )が10以上の箱桁橋については、そりねじりによる垂直接力度の計算を省略できることとしている。しかし、箱桁橋にねじり荷重が作用する場合、通常、そりねじり応力のほかにも断面変形による垂直接力が生じ、それらを初めから無視した設計を行なうと、長大橋では危険なこともあります。従来、そりねじり応力の解析は、文献<sup>1,2</sup>で示したようにかなり繁雑な計算を必要とする。そこで本文では、Merrison 委員会<sup>3</sup>まとめられたIDR<sup>2</sup>のように比較的計算が容易な単純ねじり理論をもとにした断面定数、および断面力を用いてそりねじり応力を求められる簡易計算式を導くものである。また、本文の方法が各種連続箱桁橋、および曲線箱桁橋の応力解析に応用できることを数値計算例によて明らかにする。

## 2. 曲げねじり理論によるそりねじり応力

グラケットを有する一般的な箱桁橋のねじりに関する断面諸定数を表-1に示す。

単純直線箱桁橋に分布トルク、あるいは集中トルクが作用する時の断面力を表-2に示す。ねじりに関する

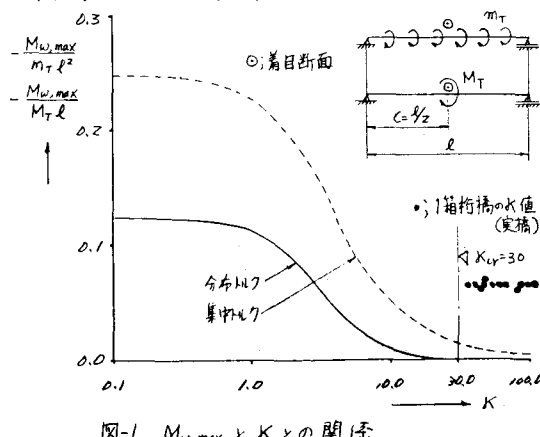


図-1  $M_{w,max}$  と  $K$ との関係

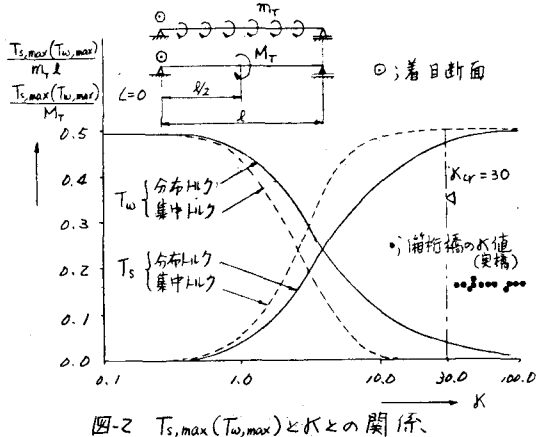


図-2  $T_s, max (T_w, max)$  と  $K$ との関係

断面形状	③	
	a	b
断面諸定数	$t_w, t_u, A_{ru}, A_{rl}, h_s$	$t_u, t_s, A_{ru}, A_{rl}, h_s$
曲げ剛性定数	$K = 2bh^3/4$	$K = 2bh^3/4$
ねじり剛性	$4 = 2bh/(t_u + t_s + 2h)$	$4 = 2bh/(t_u + t_s + 2h)$
ねじり定数	$\bar{t}_u = t_w \cdot nA_{ru}/a, \bar{t}_s = t_s \cdot mA_{rl}/b, A_{ru}, A_{rl} : 上, 下 T_4$ 断面積 $n, m : 上, 下 T_4$ 本数	$\bar{t}_u = t_w \cdot nA_{ru}/a, \bar{t}_s = t_s \cdot mA_{rl}/b, A_{ru}, A_{rl} : 上, 下 T_4$ 断面積 $n, m : 上, 下 T_4$ 本数

表-1 箱桁橋の断面諸定数

曲げ剛性定数	$M_w(x) = \frac{M_T}{d^2} \left\{ \frac{\sinh(x) + \sinh(\pi - x)}{\sinh \pi} - 1 \right\}$
	$T_s(x) = \frac{M_T}{d} \left\{ \frac{\cosh(x) - \cosh(\pi - x)}{\sinh \pi} + d \left( \frac{\pi}{x} - 1 \right) \right\}$
	$T_w(x) = \frac{M_T}{d} \left\{ \frac{\cosh(x) - \cosh(\pi - x)}{\sinh \pi} \right\}$
ねじり剛性	$M_w(x) = \frac{M_T}{d} \frac{\sinh(x/l_c) \sinh(x/c)}{\sinh \pi}, 0 \leq x \leq c$
	$T_s(x) = -M_T \frac{\sinh(x/l_c) \cosh(x/c)}{\sinh \pi}, 0 \leq x \leq c$
	$T_w(x) = M_T \frac{\sinh(x/l_c) \cosh(x/c)}{\sinh \pi}, 0 \leq x \leq c$

表-2 ねじり荷重による断面力

断面力と $K$ との関係を示すと、図-2のようになる。図中、1箱桁断面を有する実橋の $K$ を示してあるが、1箱桁では $K \geq 30$ となることがわかる。すると、図-1~2より、 $K \geq 30$ においても集中トルクによる $M_{w,max}$ は完全に0にならないこと、また一方、ねじりモーメントはほとんどの純ねじりモーメント $T_s$ でうけもっていることがあがる。このようなことを考慮ると、1箱桁橋のねじりに関する応力は次式のように求めるべきであらるものと思われる。

$$\sigma_w = \frac{M_w}{I_w} w \quad \dots (1) \quad T_s = \frac{T_s}{K} \frac{4}{t} \quad \dots (2)$$

### 3. ソリューション応力の簡易計算式

集中トルク荷重によるソリューション応力の求め方を示す。スパン中央に集中トルクを作用させ、 $K \geq 10$  であるとすると、スパン中央におけるソリューションモーメント  $M_{\omega}$  は表-2より次のように簡略化できる。

$$M_{\omega} = -\frac{1}{2d} M_T \quad \dots (3)$$

そこで、一般に  $\Omega_{\omega}$  が最大となる位置と下端部の接合点とのソリューション値を次のようにおくと、

$$\omega_1 = \lambda \frac{bh}{4} \quad \dots (4) \quad b: 下端部の幅 \quad h: ソリューション高さ$$

入: 断面の形状より決まるパラメータ

ソリューション応力  $\Omega_{\omega,1}$  は次のようになる。

$$\Omega_{\omega,1} = \frac{M_{\omega}}{I_{\omega}} \omega_1 = -\sqrt{\frac{E}{G}} \frac{\lambda b h}{8 K I_{\omega}} M_T \approx -\frac{h}{5K} (\lambda b \sqrt{\frac{K}{I_{\omega}}}) M_T \quad \dots (5)$$

$$(E = 2.1 \times 10^6 \text{ kN/cm}^2, G = 0.81 \times 10^6 \text{ kN/cm}^2)$$

上式の右辺の(5)内の無次元量をパラメータ  $\eta$  とおくと、式(5)は純ねじりに関する定数だけを含んだ次式となる。

$$\Omega_{\omega,1} = -\frac{h}{5K} \eta M_T \quad \dots (6)$$

ここで、種々な箱形断面についてパラメータ  $\eta$  を求めると、図-3~4に示すようになる。図中の実橋の例より  $\eta$  の値を  $b/h$  の関数として推定すると次のようになります。

$$\lambda = -0.6(b/h) + 1.3 \quad [0.5 \leq b/h < 3.0], \quad \lambda = -0.5 \quad [b/h \geq 3.0] \quad \dots (7)_{1,2}$$

$$\eta = 3 \quad [b/h \leq 2.0], \quad \eta = -5 \quad [b/h \geq 2.5] \quad \dots (8)_{1,2}$$

また、図-4中に示す総長あるいは横長断面のソリューション応力分布が示してあるが、2つのパターンがある。しかし、いずれも表-1の  $\gamma_1, \gamma_2$  と入値を用いること、次式により  $\Omega_{\omega,2}, \Omega_{\omega,3}$  を求めることができます。

$$\Omega_{\omega,2} = \frac{1}{3\gamma_2^2 \gamma_1 - 1} \left[ \frac{(1+\gamma_2)(3\gamma_2+4)}{\lambda} - 2\left(\frac{3}{\gamma_1} + 1\right) \right] \Omega_{\omega,1}, \quad \Omega_{\omega,3} = \frac{1}{3\gamma_2^2 \gamma_1 - 1} \left[ \frac{(1+\gamma_2)(\gamma_1+6)}{\lambda} + 2\left(\frac{3}{\gamma_1} + 1\right) \right] \Omega_{\omega,1} \quad \dots (9)_{1,2}$$

また、集中トルクの作用点から橋軸方向に  $x$  だけ離れた断面におけるソリューション応力  $\Omega_{\omega,x'}$  は、次式より求めることができます。

$$\Omega_{\omega,x'} = \Omega_{\omega} \cdot e^{-0.6 \frac{\eta}{\lambda b} x'} \quad \dots (10)$$

**4. 数値計算例** 図-5に示す断面を有する連続直線箱形橋（スパン；50m+60m+50m）を対象にして、L荷重（TT-43荷重含む）によるソリューション応力を計算すると、表-3に示すようになる。荷重は  $M_T$  をスパン中央に、 $m_T$  を中央径間に満載した。表-3より、提案式によるソリューションが厳密解とよく一致しており、本文の提案式により箱形橋のソリューション応力を求めるのは妥当であることを示しているものと思われる。なお、分布トルクに対する簡易計算式や各種直線箱形橋・曲線箱形橋の解析結果についても発表当日報告する。

参考文献 1) 中井・事口、土木学会論文報告集、No.233、1975年1月

2) Interim Design and Workmanship Rules, 1973 3) 中井・村山、曲線箱形橋のダイヤグラムについて、本概要集 表-3 連続箱形橋のソリューション応力

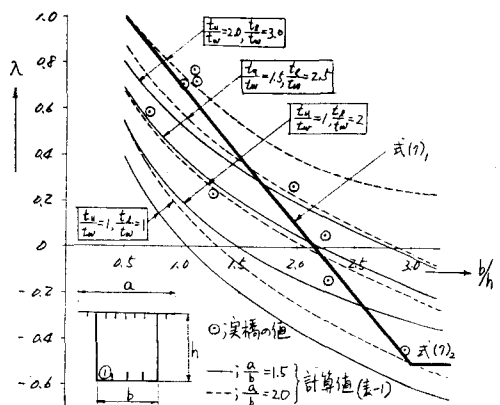


図-3 箱形橋の入値

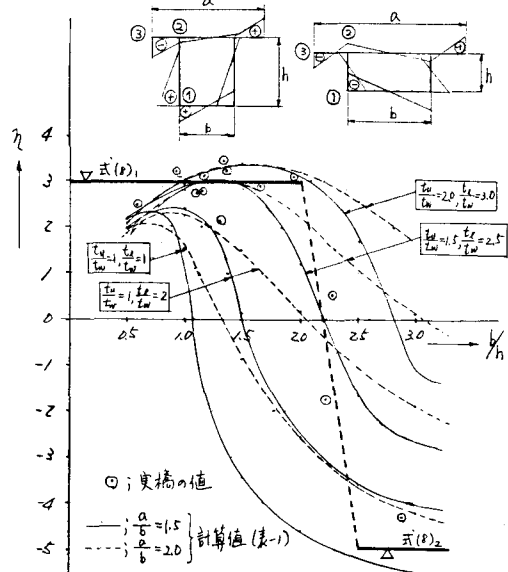
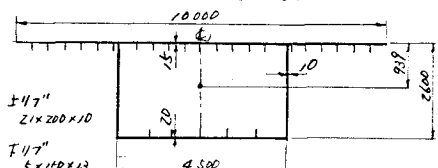


図-4 箱形橋の入値



$K(\text{cm}^3)$	$0.1240 \times 10^{12}$	$M_T(\text{t-m})$	-194.00
$I_{\omega}(\text{cm}^4)$	$0.2089 \times 10^{12}$	$m_T(\text{t-m})$	-4.38

図-5 連続箱形橋の断面図

荷重	L荷重 (TT-43荷重含む)
着目点	中央径間中央
曲げ応力	595.1
断面剛性 (t-m)	49.2
本提案式によるソリューション応力	59.3
iDRによるソリューション応力	96.7
$\gamma = 3.00, \lambda = 0.26$ (単位: $\text{kN/cm}^2$ )	-114.3